THREAT ANALYSIS AND IMPACT ON CYBER PHYSICAL SECURITY OF POWER SYSTEMS

KUSH KHANNA

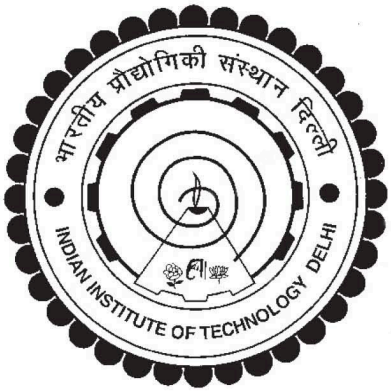

DEPARTMENT OF ELECTRICAL ENGINEERING
INDIAN INSTITUTE OF TECHNOLOGY DELHI

JULY 2019

THREAT ANALYSIS AND IMPACT ON CYBER PHYSICAL SECURITY OF POWER SYSTEMS

by

KUSH KHANNA

Department of Electrical Engineering

Submitted

in fulfillment of the requirements of the degree of Doctor of Philosophy

to the

INDIAN INSTITUTE OF TECHNOLOGY DELHI

JULY 2019

I dedicate this thesis to my wife and daughter . . .

Acknowledgements

I would like to convey my deep gratitude and respect for my research advisors, Prof. Bijaya Ketan Panigrahi and Prof. Anupam Joshi. Both of them had a prominent role in inspiring me to become an independent researcher and helped me realize the power of critical reasoning. I would like to sincerely thank my thesis committee members: Prof. Nilanjan Senroy , Prof. A. R. Abhyankar and Dr. Ashu Verma for their valuable suggestions.

I would also like to thank the IIT Delhi organisation. In particular the staff, and all faculty members for helping in one way or the other through out my stay in the campus and providing a better place to focus on my research work. I specially want to thank the Dean Academics, Prof. Bhim Singh and the Head of the Department, Prof. S. D. Joshi who made my life at IIT Delhi very comfortable. I wholeheartedly thank my colleagues and friends at IIT Delhi for every second I spent with them, their support both personally and professionally made me what I am today.

Finally, I would like to thank my parents, my wife and my daughter for their patience, support, and the unconditional love that helped me get through my doctoral journey in the most positive way.

Date: **Kush Khanna**

Abstract

The power grid is evolving rapidly. With the addition of micro grids, distributed energy resources, and increasing automation in decision making enabled by sensors, the grid has become very complex. Conventional power system was originally designed to provide efficient and reliable power. With the integration of information technology and advanced metering infrastructure, the power grid has become smart. The inclusion of communication technologies in smart grid, has also bridged the gap between utilities and consumers by increasing transparency and enabling consumers to efficiently monitor and control their electricity usage through AMI. The smart meters have allowed the system operators to continuously monitor the power system in real time and take necessary action to avoid system failures. The cyber physical security of power grid has gained more attention in the research community in recent past. Smart meters and communication infrastructure are vulnerable to cyber-threats and if the security is compromised then the consequence can be devastating. It is necessary to study all the possible impacts that cyber-attacks may have on the power grid in order to make the grid immune to cyber-physical intrusions.

Recent studies in this space has exploited the vulnerabilities of the existing power infrastructure to false data injection attacks. A well crafted attack can pass the bad data detection systems during state estimation and affect the operation and control of the power grid. The false data injection attacks are detailed in the thesis and various attacking scenarios are considered to analyse the impact on power system operation and control. The feasibility of false data injection attacks with complete as well as incomplete network knowledge is explained considering IEEE test systems. The conditions for crafting a stealthy attack on state estimations are presented and explained using different case studies and attacking scenarios.

With more and more renewable energy and information technology integration, electricity companies must make sure that they are not paying for spoofed electricity. A study is presented, proposing a new attack through which a private actor injects false data into multiple meters to deceive the system operator with new modified system state to gain momentary profit by projecting higher energy export than actual. Considering limited attacking resources available to the adversary, the attack model exploits the vulnerability and dependency on the metered values to spoof the power export for monetary benefits. From the system operator's perspective, the most vulnerable buses are obtained and ranked based on the severity and minimum set of meters required to launch an attack.

The dependency on the metered values for estimating the power system states for market operations can be further exploited by manipulating the measurements and compromising the real-time locational marginal prices of the system. A virtual bidder leverage this possibility for financial misconducts. A two stage attack reveals that the adversary optimises the incremental and decremental bids to maximise the profits by carrying out false data injection attack as either a load re-distribution attack or a topology masking attack. Attacker with complete system access can also stealthily launch cascading tripping of transmission lines and generators by attacking the integrity of state estimation. It is shown that by injecting false data in certain power injection and power flow measurements, adversary force system operator to change the dispatch and hence making the power system $N-1$ in-compliant.

Cybersecurity in the power system is a huge concern which must be addressed with topmost priority. Securing all the entry points of the cyber-attacks may not be economically feasible, hence a critical set of sensors must be identified and secured to protect grid against malicious actors. A new priority based defence strategy using normalised measurement Jacobian is presented to select the most critical measurements for securing the power system operation against false data injection attacks. The proposed approach is compared with existing methodologies in the literature and validated using the standard IEEE test cases. However, making a system completely hack proof is rather idealistic, therefore it is also necessary to detect the false data injection attacks in the real-time. A new Log transformation based method

is proposed in the thesis to detect the FDIA in real time with high probability. The proposed method is built on the dynamics of measurement variations. The detection probability of the proposed scheme is compared with existing methodology using benchmark IEEE test system.

To completely alleviate the possibility of cyber threats, the compromised meters must be identified and system operator should be alarmed. To identify the attacked measurements, an artificial intelligence (AI) based identification method is proposed to correctly single out the malicious meters. The proposed AI based method successfully identifies the compromised measurements by predicting the measurements in the event of the cyber-attack. The efficiency of the proposed method is compared for artificial neural network and extreme learning machine based AI techniques. To summarise, the main objective of the thesis is to present various impacts of false data injection attacks on power system state estimation and to build comprehensive risk analysis models forming a basic foundation on which various security measures and algorithms are built to ensure the cyber-physical security of the power system. The defence strategies proposed against data manipulation attacks, not only provides added security to the power system from stealthy data manipulation attacks but also identifies the compromised measurements for ensuring the integrity of power system operation and making the future power grid both fault and attack resilient.

सार

पावर ग्रिड तेजी से विकसित हो रहा है। माइक्रोग्रिड्स के साथ, वितरित ऊर्जा साधन और सेंसर द्वारा सक्षम निर्णय लेने में बढ़ते स्वचालन के कारण ग्रिड बहुत जटिल हो गया है । पारंपरिक शक्ति तंत्र (पावर ग्रिड) मूल रूप कुशल और विश्वसनीय शक्ति प्रदान करने के लिए रचित की गई थी । सूचना प्रौद्योगिकी के एकीकरण और उन्नत पैमाइश बुनियादी ढांचे से शक्ति तंत्र (पावर ग्रिड) बुद्धिमान बन गया है। स्मार्ट ग्रिड में संचार प्रौद्योगिकियों के समावेश ने वितरकों और उपभोक्ताओं के बीच की खाई को पाटा है, साथ ही उत्कृष्ट पारदर्शिता और उपभोक्ताओं को सक्षम किआ है। कुशलतापूर्वक निगरानी एवं उनके विद्युत् उपयोग को उन्नत पैमाइशी ढांचे से सयंमित किआ है। स्मार्ट मीटर ने प्रणाली संचालकों को अनुमति दी है की लगातार वास्तविक समय में बिजली व्यवस्था की निगरानी करें और प्रणाली को विफलताओं से बचाने के लिए आवश्यक कार्रवाई करें । हाल के दिनों में अनुसंधान समुदाय में शक्ति तंत्र की साइबर भौतिक सुरक्षा पर अधिक ध्यान दिया गया है । स्मार्ट मीटर तथा संचार के बुनियादी ढांचे साइबर खतरे के लिए कमजोर हैं और अगर सुरक्षा से समझौता किया जाता है तो परिणाम विनाशकारी हो सकते हैं। यह उन सभी संभावित प्रभावों का अध्ययन करने के लिए आवश्यक है जिनमें साइबर आक्रमण पावर ग्रिड पर हो सकते हैं एवं जो साइबर भौतिक घुसपैठ के लिए ग्रिड को प्रतिरछित करते हैं।

हाल के अध्ययनों ने मौजूदा शक्ति की बुनियादी ढांचों में झूठे आधार-सामग्री अन्तःक्षेपण आक्रमणों के कमजोरियों का लाभ उठाया है । एक अच्छी तरह से तैयार किया गया आक्रमण खराब आधार-सामग्री को स्थिति आंकलन के दौरान पारित कर सकता है और शक्ति के संचालन और नियंत्रण को प्रभावित कर सकता है। झूठे आधार-सामग्री अन्तःक्षेपण हमले इस शोध–कार्य में विभिन्न हमलावर परिदृश्यों में विस्तृत हैं जो की बिजली प्रणाली के संचालन और नियंत्रण पर प्रभाव का विश्लेषण करने के लिए माने जाते है। संभाव्यता पूर्ण के साथ–साथ अधूरे नेटवर्क ज्ञान के साथ झूठे आधार-सामग्री अन्तःक्षेपण हमलों का IEEE परीक्षण प्रणालियों पर विचार करते हुए समझाया गया है। स्थितियों पर एक गुप्त हमले का मसौदा तैयार करने की शर्तें विभिन्न मामलों का अध्ययन और आक्रमण परिदृश्यों का उपयोग करके आकलन प्रस्तुत और समझाया गया है।

अधिक से अधिक नवीकरणीय ऊर्जा और सूचना प्रौद्योगिकी एकीकरण, बिजली कंपनियों को यह सुनिश्चित करना चाहिए कि वे खराब बिजली के लिए भुगतान नहीं कर रहे हैं। यहाँ एक अध्ययन

प्रस्तुत किया गया है, जिसमे एक नए हमले का प्रस्ताव क्षणिक लाभ हासिल करने के लिए नए संशोधित तंत्र के साथ प्रणाली संचालकों को धोखा देने के लिए वास्तविक की तुलना में उच्च ऊर्जा निर्यात का अनुमान लगाकर, जिसके माध्यम से एक निजी माध्यम झूठे आधार-सामग्री को कई मीटर में अन्तःक्षेपण करता है। सीमित हमलावर संसाधनों को देखते हुए जो की आक्रमणकरियों के पास उपलब्ध है, हमले के मॉडल पर भेद्यता मौद्रिक लाभ के लिए बिजली निर्यात को बिगाड़ने के लिए मिले हुए मूल्य और निर्भरता का शोषण करता है। प्रणाली संचालकों के परिप्रेक्ष्य में, सबसे कमजोर बसों को गंभीरता के आधार पर प्राप्त और हमले शुरू करने के लिए आवश्यक न्यूनतम संख्याओं पर निर्धारित किया जाता है।

बाजार के लिए बिजली व्यवस्था का आकलन करने के लिए पैमाइश मूल्यों पर निर्भरता माप में हेरफेर और तंत्र के वास्तविक समय के स्थानीय सीमांत मूल्य में समझौता करके संचालन का और अधिक शोषण किया जा सकता है। एक आभासी बोलीदाता इस संभावना का वित्तीय कदाचार के लिए लाभ उठाता है। एक द्विचरणीय हमले से पता चलता है कि एक विरोधी वृद्धिशील अनुकूलन करता है और झूठा आधार-सामग्री अन्तःक्षेपण हमले के रूप में बाहर ले जाने के द्वारा लाभ को अधिकतम करने के लिए बढ़ती बोली या तो एक लोड पुनः वितरण हमला या एक टोपोलॉजी मास्किंग हमला करता है। एक हमलावर पूरे तंत्र के उपयोग से भी ट्रांसमिशन लाइनों और जनरेटर को चुपके से स्थिति आकलन की अखंडता पर हमला करके कैस्केडिंग ट्रिपिंग को लॉन्च कर सकता है। शोध कार्य में यह दिखाया गया है कि कुछ में गलत डेटा इंजेक्ट करके बिजली इंजेक्शन और बिजली प्रवाह माप, बदलने के लिए विरोधी बल प्रणाली ऑपरेटर प्रेषण करता है और इसलिए बिजली प्रणाली $N-1$ को अनिवार्य बनाता है।

बिजली व्यवस्था में साइबर सुरक्षा एक बहुत बड़ी चिंता है जिसका सर्वोच्च प्राथमिकता के साथ समाधान किया जाना चाहिए। हो सकता है कि आर्थिक रूप से साइबर हमलों के सभी प्रवेश बिंदु सुरक्षित न संभव हों, इसलिए सेंसर के एक महत्वपूर्ण सेट की पहचान की जानी चाहिए और ग्रिड से बचाने के लिए हानिकारक माध्यमों से सुरक्षित किया जाना चाहिए। सामान्यीकृत माप का उपयोग करके एक नई प्राथमिकता आधारित रक्षा रणनीति जैकबियन को बिजली प्रणाली को गलत डेटा इंजेक्शन हमलों के खिलाफ ऑपरेशन सुरक्षित करने के लिए सबसे महत्वपूर्ण माप का चयन करने के लिए प्रस्तुत किया गया है। यहाँ प्रस्तावित दृष्टिकोण की कार्यप्रणाली तुलना मौजूदा साहित्य के साथ की जाती है और मानक IEEE परीक्षण मामलों का उपयोग करके मान्य

की गयी है। हालाँकि, एक प्रणाली को पूरी तरह से हैक प्रूफ बनाना आदर्शवादी है, इसलिए यह आवश्यक भी है वास्तविक समय में झूठे आधार-सामग्री अन्तःक्षेपण हमलों का पता लगाएं। उच्च संभावना के साथ वास्तविक समय में एफडीआईए का पता लगाने के लिए शोध कार्य में एक नया लॉग परिवर्तन आधारित विधि प्रस्तावित है। प्रस्तावित विधि माप विविधताओं की गतिशीलता पर बनाया गया है संभावना प्रस्तावित स्कीम की तुलना बेंचमार्क IEEE टेस्ट सिस्टम के इस्तेमाल से की गई है।

साइबर खतरों की संभावना को पूरी तरह से कम करने के लिए त्रुटिपूर्ण मीटर की पहचान होनी चाहिए और सिस्टम ऑपरेटर को सतर्क किया जाना चाहिए। हमले के माप की पहचान करने के लिए, कृत्रिम बुद्धिमत्ता (एआई) आधारित पहचान विधि त्रुटिपूर्ण मीटर को सही ढंग से एकल करने का प्रस्ताव है । प्रस्तावित AI आधारित विधि साइबर आक्रमण की स्थिति में मापों की भविष्यवाणी करके त्रुटिपूर्ण मापनों की सफलतापूर्वक पहचान करती है। सक्षमता प्रस्तावित विधि की तुलना मशीन आधारित एआई (AI) तकनीक कृत्रिम तंत्रिका नेटवर्क (ANN) और एक्सट्रीम लर्निंग मशीन्स (ELM) के द्वारा किया गया है । संक्षेप में प्रस्तुत करने के लिए थीसिस का मुख्य उद्देश्य बिजली प्रणाली राज्य के आकलन प्रस्तुत करना है और निर्माण पर झूठे आधार-सामग्री इंजेक्शन हमलों के विभिन्न प्रभाव पर एक व्यापक आधार बनाने वाली व्यापक जोखिम विश्लेषण मॉडल, जिस पर विभिन्न सुरक्षा उपायों और एल्गोरिदम को बिजली प्रणाली की साइबर-भौतिक सुरक्षा सुनिश्चित करने के लिए बनाया गया है। यहाँ प्रस्तुत रक्षा रणनीति डेटा हेरफेर हमलों के खिलाफ प्रस्तावित है, यह न केवल चोरी के आधार-सामग्री हेरफेर हमलों से बिजली प्रणाली को अतिरिक्त सुरक्षा प्रदान करता है अपितु बिजली व्यवस्था संचालन और त्रुटिपूर्ण मापनों से भविष्य की बिजली ग्रिड बनाने की अखंडता हेतु दोनों दोष और आक्रमण रहित करता है।

Contents

List of Figures

List of Tables

Nomenclature

Chapter 2

$\boldsymbol{a}$	Attack vector.
$\boldsymbol{c}$	Error caused in the state vector due to attack vector $\boldsymbol{a}$.
$\boldsymbol{H}$	Measurement Jacobian.
$\boldsymbol{V}$	$V\angle\theta$.
$\boldsymbol{Y^A}$	Bus admittance matrix for the attacking region.
G_{ij}, B_{ij}	$(i,j)^{th}$ element of bus admittance matrix.
g_{ij}, b_{ij}	Conductance and susceptance of line $i-j$.
g_{si}, b_{si}	Shunt conductance and shunt susceptance at bus i.
N	Number of buses in the system.
P_i	Real power injection at bus i.
P_{ij}	Real power flow in the line $i-j$.
Q_i	Reactive power injection at bus i.
Q_{ij}	Reactive power flow in the line $i-j$.

Chapter 3

$\boldsymbol{\delta^{pre-attack}}$	$\lvert N_{bus}\rvert \times 1$ vector for load angles obtained through DCOPF before the attack
$\boldsymbol{\delta_{N_i^{pri}}}$	Load angle vector for the primary attacking region.
$\boldsymbol{\delta}$	Column matrix for angles in radians.
$\boldsymbol{a}$	Attack Vector.
$\boldsymbol{B}$	Bus admittance matrix of the network.
$\boldsymbol{c}$	Estimated error injected in the state variable by the attacker.
$\boldsymbol{e}$	Measurement error vector.
$\boldsymbol{H}$	$[h_{ij}]_{m\times n}$.
$\boldsymbol{P_D^{N_i pri}}$	Real power demand vector of the primary attacking region.
$\boldsymbol{P_D^{pre-attack}}$	$\lvert N_{bus}\rvert \times 1$ vector for real power demand before the attack.
$\boldsymbol{P_D}$	Real power demand vector.
$\boldsymbol{P_G^{pre-attack}}$	$\lvert N_{bus}\rvert \times 1$ vector for real power generation before the attack.
$\boldsymbol{P_G}$	Real power generation vector.
$\boldsymbol{P_{N_i^{pri}}}$	Power injection vector for the primary attacking region.
$\boldsymbol{x}$	State variable vector ($n \times 1$).
$\boldsymbol{z_a}$	Measurement vector with false data injected.
$\boldsymbol{z}$	True measurement vector ($m \times 1$).
Δf	Net changes in the line flows in the attacking region.
ϕ	Null set.
BB_i^{pri}	Set of boundary buses for the attacking region N_i^{pri}.

BB_i^{ext}	Set of the boundary buses for the extended attacking region.
$C_g(P_{Gg})$	Generation cost function for the generator at bus g.
$h(x)$	Measurement function $[h_1(x_1, x_2, \ldots, x_n), \ldots, h_m(x_1, x_2, \ldots, x_n)]^T$.
N_G	Set of generator buses.
N_i^{adj}	Set of all the adjoining buses of the primary region N_i^{pri}.
N_i^{pri}	Set of buses in primary attacking region for the bus i.
N_{Bi}	Set of all buses directly connected to bus i.
N_{Bj}	Set of all the buses directly connected to bus j.
N_{ik}^{ext}	Set of all the buses in the extended attacking region considering k^{th} subset of power set $\mathcal{P}(N_i^{adj})$.
p	Total number of subsets of the power set $\mathcal{P}(N_i^{adj})$.
P_{Gg}	Power generation at bus g.
P_{Gg}^{max}	Maximum generation specified for the generator at the bus g.
P_{Gg}^{min}	Minimum generation specified for the generator at the bus g.

Chapter 4

$\boldsymbol{\Delta F}$	Attack vector for power flow measurements.
$\boldsymbol{\Delta P_D}$	Load redistribution vector.
$\boldsymbol{\Omega^{DA+}}, \boldsymbol{\Omega^{DA-}}$	Binary variables ($\lvert N_L \rvert \times 1$).
$\boldsymbol{\Omega^{RT+}}, \boldsymbol{\Omega^{RT-}}$	Binary variables ($\lvert N_L \rvert \times 1$).
$\boldsymbol{\phi^{DA+}}, \boldsymbol{\phi^{DA-}}$	Binary variables ($\lvert N_G \rvert \times 1$).
$\boldsymbol{\phi^{RT+}}, \boldsymbol{\phi^{RT-}}$	Binary variables ($\lvert N_G \rvert \times 1$).

$\boldsymbol{F^{DA}}$	Line flow vector for day-ahead formulation.
$\boldsymbol{F^{RT}}$	Line flow vector for real-time formulation.
$\boldsymbol{P_D^{RT}}$	Real-time demand vector.
$\boldsymbol{P_D}$	Day-ahead demand vector.
$\boldsymbol{P_G^{DA}}$	Day-ahead generator dispatch schedules.
$\boldsymbol{P_G^{RT}}$	Real-time generator dispatch schedules.
$\boldsymbol{S}$,$\boldsymbol{K_D}$,$\boldsymbol{K_G}$,$\boldsymbol{K_V}$	Shift factor matrix, bus-load incidence matrix, bus-generator incidence matrix, bus-virtual bid incidence matrix.
Λ^{DA}, $\boldsymbol{\mu^{DA+}}$,$\boldsymbol{\mu^{DA-}}$	Lagrange multipliers for day-ahead formulation.
Λ^{RT},$\boldsymbol{\mu^{RT+}}$,$\boldsymbol{\mu^{RT-}}$	Lagrange multipliers for real-time formulation.
λ_i^{DA},λ_i^{RT}	Day-ahead and real-time LMPs for the i^{th} bus.
$\underline{F_l}$,$\overline{F_l}$	Minimum and maximum line flow limits for the line 'l'.
$\underline{P_i^v}$,$\overline{P_i^v}$	Lower and upper limit for the amount of power a virtual trader can buy/sell in DAM.
$\underline{P_{Gg}}$,$\overline{P_{Gg}}$	Minimum and maximum generation limits for the generator 'g'.
$C_{Gg}(\bullet)$	Generation cost function for g^{th} generator.
M	Scalar constant with high scalar value ($\gg 0$).
N_D	Set of buses with load connected.
N_G	Set of buses with generator connected.
N_L	Set of transmission lines in the network.
P_i^v	Amount of power traded as virtual bid at bus 'i'.

Chapter 5

$\boldsymbol{D}$	Bus-Load incidence matrix.
$\boldsymbol{F^N}$	Flows considering dispatch $\boldsymbol{P'_g}$ and actual load $\boldsymbol{P_D}$.
$\boldsymbol{F^{N-1(cg)}}$	Flows considering dispatch $\boldsymbol{P'^{cg}_g}$, actual load $\boldsymbol{P_D}$ and cg^{th} generator outage.
$\boldsymbol{F^{N-1(cl)}}$	Flows considering dispatch $\boldsymbol{P'_g}$, actual load $\boldsymbol{P_D}$ and cl^{th} line outage.
$\boldsymbol{G^{cg}}$	Bus-Generator incidence matrix considering cg^{th} generator outage.
$\boldsymbol{G}$	Bus-Generator incidence matrix.
$\boldsymbol{P_D}$	Real power demand vector.
$\boldsymbol{P'^{cg}_g}$	Real power generation vector considering cg^{th} generator outage.
$\boldsymbol{P'_g}$	Generator dispatch vector considering corrupted load measurements.
$\boldsymbol{P_g}, \boldsymbol{R^{cg}_g}$	Dispatch variables for the inner level optimization problem.
$\boldsymbol{R'^{cg}_g}$	Real power generation ramp vector considering cg^{th} generator outage.
$\boldsymbol{R'_g}$	Generator ramp vector considering corrupted load measurements.
$\boldsymbol{S^{cl}}$	Shift factor matrix considering cl^{th} line outage.
$\boldsymbol{S}$	Shift factor matrix.
ΔF_l	Change in the flow measurement of l^{th} branch.
ΔP_{Dd}	Change in the load measurement of d^{th} bus.
ϵ	Fraction of allowable load change.
$\overline{F_l}/\underline{F_l}$	Maximum/Minimum flow limit of the branch l.
$\underline{P_{gi}}/\overline{P_{gi}}$	Minimum/Maximum generation limits of generator at i^{th} bus.

B_{gen}	Count for lines violating the limits for one generator contingency.
B_{line}	Count for lines violating the limits for one line contingency.
$C_{gi}(P_{gi})$	Cost of generator on i^{th} bus.
FL_l	$FL_l = 1$ indicating $\Delta F_l \neq 0$.
L_d	$L_d = 1$ indicating $\Delta P_{Dd} \neq 0$.
N_D	Set of all the buses where load is connected.
N_L	Set of all the branches of the network.
N_{bus}	Number of bus in the network.
r	Fraction of allowable generation change during generator contingency.

Chapter 6

$\boldsymbol{a}$	Attack vector.
$\boldsymbol{c}$	Error caused in the state vector due to attack vector $\boldsymbol{a}$.
$\boldsymbol{H^*}$	Binary matrix for the Jacobian matrix $\boldsymbol{H}$.
$\boldsymbol{H_s^*}$	Normalised measurement Jacobian.
$\boldsymbol{H}$	Measurement Jacobian.
μ_k	Binary variable. μ_k=1/0 denotes that PMU is present/absent at bus k.
ω_k	Binary variable. ω_k=1/0 denotes that k^{th} PMU is protected/unprotected.
ψ_i	Binary variable. $\psi_i = 1/0$ denotes that measurement i is protected/unprotected.
l_i	Coupling variable for measurement i.
M	Limit on number of sensors that can be protected.

N_μ	Limit on number of PMUs that can be protected.

Chapter 7

$\boldsymbol{e}$	Gaussian measurement error vector.
$\boldsymbol{PD^*, QD^*}$	Attacked real and reactive power demand for all the buses in the attacking region N_i.
$\boldsymbol{PD^{true}}$	Real power demand vector before attack.
$\boldsymbol{QD^{true}}$	Reactive power demand vector before attack.
$\boldsymbol{V^*, \delta^*}$	Attacked voltage and angle for all the buses in the attacking region N_i.
$\boldsymbol{x_{bad}}$	State vector after attack.
$\boldsymbol{z_{bad}}$	Perturbed measurements after attack.
ΔP_{di}	Change in real power load at the bus i.
ΔQ_{di}	Change in reactive power load at the bus i.
ϕ	Null set.
f, t	From bus and To bus matrix for transmission lines.
N_A^i	Set of buses directly affected by change in the state θ_i or V_i.
N_b^i	Set of buses directly connected to the bus i.
N_G^1, N_G^0	Set of generator buses with and without load.
N_i	Set of buses attacking region for load altering attack at i^{th} bus.
N_i^B	Set of boundary buses in the attacking region N_i
N_Z	Set of zero injection buses.
N_{Bi}	Set of buses connecting i^{th} bus directly.

n^i_{flow}	Total number of real power flow meters required to be attack to cause change in state θ_i or V_i.
n^i_{inj}	Total number of real and reactive power injection measurements required to be modified to cause intended change in state θ_i or V_i.
N_{line}	Set of transmission lines affected by change in state θ_i or V_i.
N^i_{line}	Set of transmission lines directly connected to the bus i.
P^{spec}_i	Specified real power injection at bus i post attack.
P^{true}_i	True real power injection at bus i before attack.
Q^{spec}_i	Specified reactive power injection at bus i post attack.
Q^{true}_i	True reactive power injection at bus i before attack.
V^{true}, δ^{true}	True voltage and angle vector.